

К. С. ЧОБАНЯН, А. С. ХАЧИКЯН

### ПЛОСКОЕ ДЕФОРМИРОВАННОЕ СОСТОЯНИЕ УПРУГОГО ТЕЛА С ТОНКОСТЕННЫМ ГИБКИМ ВКЛЮЧЕНИЕМ

В работе рассмотрены условия на тонкостенном гибком включении, которым удовлетворяют предельные значения напряжений и перемещений в подвергнутом плоской деформации упругом теле.

Исследованы две задачи упругого равновесия бесконечной плоскости с прямолинейным тонким включением, находящейся под действием сосредоточенных сил, приложенных симметрично относительно включения.

1. Рассмотрим плоское деформированное состояние упругого тела с тонкостенным цилиндрическим гибким включением, когда плоскость деформаций перпендикулярна к образующим цилиндрического включения. Принимаем, что контакт между частями тела и включения осуществляется полным сцеплением.

Величины, характеризующие напряженное и деформированное состояние упругого тела, слева от включения обозначим индексом „+“, а справа — индексом „-“, величины же, относящиеся к внутренним точкам включения — без индекса. Составляя условия равновесия узкого элемента включения, имеющего единичную длину в направлении оси  $z$  (фиг. 1), находим

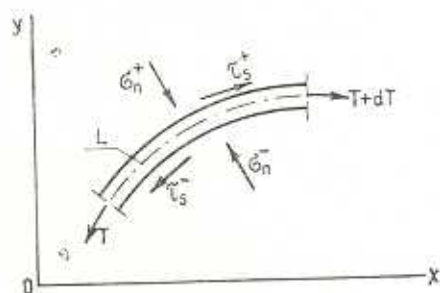
$$\begin{aligned} \sigma_n^+ - \sigma_n^- + \frac{1}{\rho} T &= 0 \\ \tau_s^+ - \tau_s^- + \frac{\partial T}{\partial s} &= 0 \end{aligned} \quad (1.1)$$

где  $\sigma_n^\pm$  и  $\tau_s^\pm$  — нормальные и касательные напряжения на контактах,  $s$  и  $n$  — направления касательной и нормали к средней линии  $L$  поперечного сечения включения,  $\rho$  — радиус кривизны  $L$ , а  $T$  — натяжение включения

$$T = \int_{-h}^h \sigma_s dn \quad (1.2)$$

Здесь  $2h$  — толщина включения.

Деформации включения в криволинейных координатах  $s, n$ , где  $n$  — расстояние точки по нормали до средней поверхности включения, определяются соотношениями



Фиг. 1.

$$\begin{aligned}\varepsilon_n &= \frac{\partial u_n}{\partial n} \\ \varepsilon_s &= \frac{\partial u_s}{\partial s} + \frac{u_n}{\rho} \\ \gamma_{sn} &= \frac{\partial u_s}{\partial n} + \frac{\partial u_n}{\partial s} - \frac{u_s}{\rho}\end{aligned}\quad (1.3)$$

Материал включения принимаем ортотропным, причем направления  $s$ ,  $n$  и  $z$  являются главными направлениями изотропии

$$\begin{aligned}\varepsilon_s &= \frac{\sigma_s}{E_s} - \frac{\nu_{sn}}{E_s} \sigma_n - \frac{\nu_{sz}}{E_s} \sigma_z \\ \varepsilon_n &= \frac{\sigma_n}{E_n} - \frac{\nu_{ns}}{E_n} \sigma_s - \frac{\nu_{nz}}{E_n} \sigma_z \\ \varepsilon_z &= \frac{\sigma_z}{E_z} - \frac{\nu_{zs}}{E_z} \sigma_s - \frac{\nu_{zn}}{E_n} \sigma_n \\ \gamma_{sn} &= \frac{\tau_{sn}}{G_{sn}}, \quad \gamma_{sz} = \gamma_{nz} = 0\end{aligned}\quad (1.4)$$

Между коэффициентами поперечных деформаций имеются зависимости

$$\frac{\nu_{sn}}{E_s} = \frac{\nu_{ns}}{E_n}, \quad \frac{\nu_{sz}}{E_s} = \frac{\nu_{zs}}{E_z}, \quad \frac{\nu_{nz}}{E_n} = \frac{\nu_{zn}}{E_z}\quad (1.5)$$

Используя условие  $\varepsilon_z = 0$ , из первых двух соотношений (1.4) исключаем  $\sigma_z$

$$\begin{aligned}\varepsilon_s &= a_{ss}\sigma_s - a_{sn}\sigma_n \\ \varepsilon_n &= a_{nn}\sigma_n - a_{ns}\sigma_s \\ \gamma_{sn} &= b_{sn}\tau_{sn}\end{aligned}\quad (1.6)$$

Здесь введены обозначения

$$\begin{aligned}a_{ss} &= \frac{1}{E_s} (1 - \nu_{sz}\nu_{zs}), & a_{sn} &= \frac{1}{E_s} (\nu_{sn} + \nu_{sz}\nu_{zn}) \\ a_{nn} &= \frac{1}{E_n} (1 - \nu_{nz}\nu_{zn}), & a_{ns} &= \frac{1}{E_n} (\nu_{ns} + \nu_{nz}\nu_{zs}) \\ b_{sn} &= \frac{1}{G}\end{aligned}\quad (1.7)$$

На основании (1.5)  $a_{sn} = a_{ns}$ .

Используя тонкостенность включения, получаем следующие приближенные зависимости:

$$u_s = \frac{u_s^+ + u_s^-}{2}, \quad u_n = \frac{u_n^+ + u_n^-}{2}, \quad \varepsilon_n = \frac{u_n^+ - u_n^-}{2h} \quad (1.8)$$

$$\varepsilon_s = \frac{\partial u_s}{\partial s} + \frac{u_n^+ + u_n^-}{2\rho}, \quad \gamma_{sn} = \frac{u_s^+ - u_s^-}{2h} + \frac{1}{2} \frac{\partial u_n^+}{\partial s} + \frac{1}{2} \frac{\partial u_n^-}{\partial s} - \frac{u_s^+ + u_s^-}{2\rho}$$

$$\sigma_n = \frac{\sigma_n^+ + \sigma_n^-}{2}, \quad \tau_s = \frac{\tau_s^+ + \tau_s^-}{2}, \quad \sigma_s = \frac{T}{2h} \quad (1.9)$$

Подставляя (1.8) и (1.9) в (1.6), получаем

$$\frac{\partial u_s}{\partial s} + \frac{u_n^+ - u_n^-}{2\rho} = a_{ss} \frac{T}{2h} - a_{sn} \frac{\sigma_n^+ + \sigma_n^-}{2}$$

$$\frac{u_n^+ - u_n^-}{2h} = a_{nn} \frac{\sigma_n^+ + \sigma_n^-}{2} - a_{ns} \frac{T}{2h} \quad (1.10)$$

$$\frac{u_s^+ - u_s^-}{h} + \frac{\partial u_n^+}{\partial s} + \frac{\partial u_n^-}{\partial s} - \frac{u_s^+ + u_s^-}{\rho} = b_{sn} (\tau_s^+ + \tau_s^-)$$

Таким образом, получено пять условий (1.1) и (1.10) для предельных значений напряжений и перемещений на тонкостенном гибком включении и для натяжения  $T$ .

Считая поперечные деформации включения малыми и пренебрегая отношением  $h/\rho$  по сравнению с единицей, условия (1.10) можно упростить

$$\frac{\partial u_s}{\partial s} = \frac{a_{ss}}{2h} T - \frac{a_{sn}}{2} (\sigma_n^+ + \sigma_n^-)$$

$$u_n^+ - u_n^- = a_{nn} h (\sigma_n^+ + \sigma_n^-) - a_{ns} T \quad (1.11)$$

$$u_s^+ - u_s^- = h b_{sn} (\tau_s^+ + \tau_s^-) - h \left( \frac{\partial u_n^+}{\partial s} + \frac{\partial u_n^-}{\partial s} \right)$$

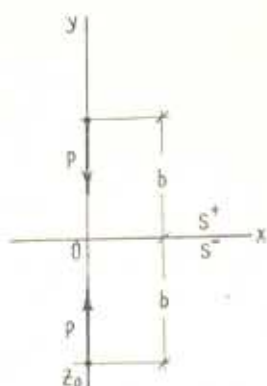
Пренебрегая совсем поперечными деформациями и считая толщину включения достаточно малой, вместо (1.11) получаем предельно упрощенные условия

$$\frac{\partial u_s}{\partial s} = \frac{a_{ss}}{2h} T, \quad u_n^+ = u_n^-, \quad u_s^+ = u_s^- \quad (1.12)$$

2. Рассмотрим упругое равновесие двух полупространств, соединенных между собой при помощи тонкой упругой пластинки, под действием перпендикулярных к пластинке сил, равномерно распределенных по двум равноудаленным от пластинки параллельным прямым, лежащим по разные стороны от пластинки. Исключая перемещения в направлении этих прямых, будем иметь задачу плоского деформированного состояния для упругой плоскости с бесконечным упругим прямолинейным включением при действии двух сосредоточенных сил (фиг. 2).

Вследствие симметрии имеем

$$u_n^-(x, 0) = 0, \quad \tau^-(x, 0) = -\tau^+(x, 0) \quad (2.1)$$



Фиг. 2.

На основании (1.1), (1.12) и (2.1) получаем

$$\tau_{xy}^- = k \frac{\partial^2 u_n^-}{\partial x^2} \quad (2.2)$$

где

$$k = \frac{hE_s}{1 - \nu_{sz}\nu_{zs}}$$

а в случае изотропного включения

$$k = \frac{hE}{1 - \nu^2} \quad (2.3)$$

Рассматриваемую задачу решим путем приведения к задаче сопряжения [1].

В силу симметрии будем рассматривать только нижнюю полуплоскость.

Напряжения  $\sigma_{xx}$ ,  $\tau_{xy}$  и производные перемещений  $u_x = u$ ,  $u_n = v$  выражаются через две функции комплексного переменного следующими формулами:

$$\sigma_{yy} - i\tau_{xy} = \Phi(z) + \overline{\Phi(z)} + z\overline{\Phi'(z)} + \overline{\Psi(z)} \quad (2.4)$$

$$2G(u' + iv') = \kappa\Phi(z) - \overline{\Phi(z)} - z\overline{\Phi'(z)} - \overline{\Psi(z)} \quad (2.5)$$

где

$$u' = \frac{\partial u}{\partial x}, \quad v' = \frac{\partial v}{\partial x}, \quad \kappa = 3 - 4\nu$$

В точке приложения сосредоточенной силы  $P$  функции  $\Phi(z)$  и  $\Psi(z)$  имеют особенность

$$\Phi(z) = -\frac{iP}{2\pi(1+\kappa)} \frac{1}{z-z_0} + \Phi_0(z) \quad (2.6)$$

$$\Psi(z) = -\frac{i\kappa P}{2\pi(1+\kappa)} \frac{1}{z-z_0} - \frac{i\bar{z}_0 P}{2\pi(1+\kappa)} \frac{1}{(z-z_0)^2} + \Psi_0(z) \quad (2.7)$$

Здесь  $z_0 = -ib$  — точка приложения силы  $P$ ,  $\Phi_0(z)$  и  $\Psi_0(z)$  — аналитические в нижней полуплоскости функции.

Следуя [1], в верхней полуплоскости определим функцию  $\overline{\Phi_0(z)}$  при помощи следующего соотношения:

$$\Phi_0^+(z) = -\overline{\Phi_0(z)} - z\overline{\Phi_0'(z)} - \overline{\Psi_0(z)} \quad \text{при } z \text{ в } S^+ \quad (2.8)$$

где

$$\overline{\Phi_0^+(z)} = \overline{\Phi_0(z)}, \quad \overline{\Psi_0^+(z)} = \overline{\Psi_0(z)}$$

Переходя в (2.8) к сопряженным значениям, находим

$$\Psi_0(z) = -\Phi_0(z) - \overline{\Phi_0(z)} - z\Phi_0'(z) \quad (2.9)$$

Внося (2.6), (2.7) и (2.9) в (2.4) и (2.5), получаем

$$\sigma_y - i\tau_{xy} = A(z) + \Phi_0(z) - \overline{\Phi_0(z)} + (z - \overline{z})\overline{\Phi_0'(z)} \quad (2.10)$$

$$2G(u' + iv') = B(z) + \alpha\Phi_0(z) + \overline{\Phi_0(z)} - (z - \overline{z})\overline{\Phi_0'(z)} \quad (2.11)$$

где введены обозначения

$$A(z) = c \left[ \frac{1+\alpha}{z-ib} - \frac{1}{z+ib} - \frac{z+ib}{(z-ib)^2} \right] \quad (2.12)$$

$$B(z) = c \left[ \frac{z+ib}{(z-ib)^2} - \frac{1+\alpha}{z-ib} - \frac{\alpha}{z+ib} \right]$$

$$c = \frac{iP}{2\pi(1+\alpha)}$$

Первое условие (2.1) и условие (2.2) в новых обозначениях перемещений будут

$$v^\pm(x, 0) = 0, \quad \tau_{xy}^- = k \frac{d^2u(x, 0)}{dx^2} \quad (2.13)$$

Удовлетворяя этим условиям, на основании (2.10) и (2.11) имеем

$$\begin{aligned} \Phi_0^-(t) - \overline{\Phi_0^-(t)} - \Phi_0^+(t) + \overline{\Phi_0^+(t)} + n\alpha\Phi_0'^-(t) + n\Phi_0'^+(t) = \\ = \overline{A(t)} - A(t) - nB'(t), \quad -\infty < t < \infty \end{aligned} \quad (2.14)$$

где

$$n = \frac{ik}{G}$$

Функция  $F(z)$ , определенная формулой

$$F(z) = \begin{cases} \Phi_0(z) + \overline{\Phi_0(z)} - n\Phi_0'(z) & \text{при } z \text{ в } S^+ \\ \Phi_0(z) + \overline{\Phi_0(z)} + n\alpha\Phi_0'(z) & \text{при } z \text{ в } S^- \end{cases} \quad (2.15)$$

кусочно-голоморфна с линией скачков, совпадающей с действительной осью.

На основании (2.14) и (2.15) имеем

$$F^+(t) - F^-(t) = A(t) - \overline{A(t)} + nB'(t), \quad -\infty < t < \infty \quad (2.16)$$

$$F(z) = \frac{1}{2\pi i} \int_{-\infty}^{\infty} \frac{A(t) - \overline{A(t)} + nB'(t)}{t-z} dt \quad (2.17)$$

Используя (2.13) и (2.5), получаем

$$\begin{aligned}\Phi_0^+(t) - \overline{\chi\Phi_0^-(t)} &= \Pi^+(t) \\ \overline{\Phi_0^+(t)} - \chi\Phi_0^-(t) &= \Pi^-(t)\end{aligned}\quad (2.18)$$

где  $\Pi^+(t)$  и  $\Pi^-(t)$  — граничные значения кусочно-голоморфной функции  $\Pi(z)$ , определяемой следующей формулой:

$$\Pi(z) = \frac{1}{2\pi i} \int_{-\infty}^{\infty} \frac{\overline{B(t)} - B(t)}{t - z} dt \quad (2.19)$$

На основании соотношений (2.15), (2.17) и (2.18) имеем

$$\begin{aligned}\Phi_0^{'+}(t) - \frac{1+\chi}{n\chi}\Phi_0^+(t) &= -\frac{\chi F^+(t) + \Pi^+(t)}{n\chi} \\ \Phi_0^{'-}(t) + \frac{1+\chi}{n\chi}\Phi_0^-(t) &= \frac{F^-(t) - \Pi^-(t)}{n\chi}\end{aligned}$$

Решение этой системы дифференциальных уравнений будет

$$\Phi_0^+(t) = e^{\frac{1+\chi}{n\chi} \int_{t_0}^t dt} \left[ \int_{t_0}^t \frac{-\chi F^+(t) - \Pi^+(t)}{n\chi} e^{-\frac{1+\chi}{n\chi} \int_{t_0}^t dt} dt + c_1 \right] \quad (2.20)$$

$$\Phi_0^-(t) = e^{-\frac{1+\chi}{n\chi} \int_{t_0}^t dt} \left[ \int_{t_0}^t \frac{F^-(t) - \Pi^-(t)}{n\chi} e^{\frac{1+\chi}{n\chi} \int_{t_0}^t dt} dt + c_2 \right] \quad (2.21)$$

Учитывая, что напряжения должны исчезнуть на бесконечности, имеем

$$\Phi_0^+(t) = \Phi_0^-(t) = 0 \quad \text{при } t = \infty$$

Устремляя  $t_0$  к  $\infty$ , находим

$$c_1 = c_2 = 0$$

Функцию  $\Phi_0(z)$  найдем из (2.20) и (2.21)

$$\Phi_0(z) = \frac{1}{2\pi i} \int_{-\infty}^{\infty} \frac{\Phi_0^+(t) - \Phi_0^-(t)}{t - z} dt \quad (2.22)$$

Для граничных значений функции  $\Phi_0(z)$  окончательно получаем

$$\Phi_0^+(t) = c \frac{2ib \frac{1+\chi}{n\chi} + \chi}{t+ib} - 2ibcm^2 e^{-imt} \int_{\infty}^t \frac{e^{imt}}{t+ib} dt \quad (2.23)$$

$$\Phi_0^-(t) = \frac{c \left(1 - \frac{2bm}{\chi}\right)}{t-ib} - \frac{2ibc}{\chi(t-ib)^2} - \frac{2ibcm^2}{\chi} e^{imt} \int_{\infty}^t \frac{e^{-imt}}{t-ib} dt$$

где

$$m = \frac{1 + \nu}{z} \frac{G}{k}$$

Для касательных напряжений на контакте получаем формулу

$$\begin{aligned} \tau_{xy} = & \frac{2c(1+\nu)bm}{iz(t^2+b^2)} t - \frac{4b^2c(1+\nu)}{iz(t^2+b^2)^2} t + \\ & + 2bcm^2 \frac{1+\nu}{iz} \left[ \cos mt \left( \int_0^t \frac{t \sin mt}{t^2+b^2} dt - b \int_0^t \frac{\cos mt}{t^2+b^2} dt \right) - \right. \\ & \left. - \sin mt \left( \int_0^t \frac{t \cos mt}{t^2+b^2} dt + b \int_0^t \frac{\sin mt}{t^2+b^2} dt \right) \right] \end{aligned}$$

Значения величины  $\frac{0.4\tau_{xy}}{mP}$  для некоторых точек границы полуплоскости при различных значениях параметра „ $b$ “ приведены в табл. 1.

Таблица 1

| $t \backslash b$ | 1.0     | 0.5     | 0.2     | 0.1     |
|------------------|---------|---------|---------|---------|
| 0.05             | -0.0161 | -0.0684 | -0.4053 | -1.1950 |
| 0.20             | -0.0594 | -0.2048 | -0.4431 | -1.2778 |
| 0.50             | -0.0996 | -0.1606 | -0.0694 | -0.0166 |
| 0.75             | -0.0913 | -0.0823 | -0.0177 | -0.0041 |
| 1.00             | -0.0685 | -0.0401 | -0.0044 | -0.0012 |
| 1.25             | -0.0489 | -0.0196 | -0.0002 | 0.0016  |
| 1.50             | -0.0330 | -0.0094 | 0.0012  | 0.0016  |
| 2.00             | -0.0143 | -0.0015 | 0.0017  | 0.0013  |
| 3.00             | -0.0019 | 0.0014  | 0.0012  | 0.0007  |
| 4.00             | 0.0007  | 0.0014  | 0.0008  | 0.0004  |
| 6.00             | 0.0010  | 0.0008  | 0.0004  | 0.0002  |
| 8.00             | 0.0007  | 0.0003  | 0.0002  | 0.0001  |

Из-за отсутствия достаточно подробных таблиц интегралы были вычислены на ЭВМ „Наири“ при помощи известных значений соответствующих интегралов в пределах от 0 до  $\infty$ .

Вычисления с абсолютной точностью  $0.5 \cdot 10^{-5}$  проводились при следующих значениях исходных параметров: коэффициент Пуассона  $\nu = \frac{1}{3}$ ,  $k = Eh_1$ , где  $E$  — модуль упругости материала полуплоскости, а  $h_1 = 1.5$  ед. длины.

Для определения натяжения в точке  $t=0$ , на основании (1.12), (1.7), (2.3), (2.5)–(2.8) и (2.22), имеем формулу

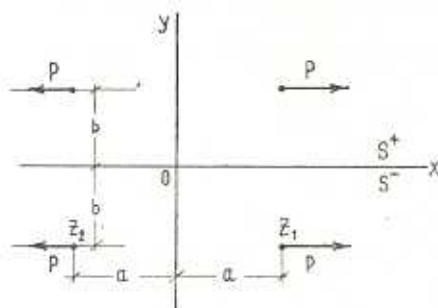
$$T = \frac{2P}{\pi\kappa} [1 + mbe^{mb} \operatorname{Ei}(-mb)]$$

Значения величины  $T/P$  при некоторых значениях параметра „ $b$ “ приведены в табл. 2.

Таблица 2

| $b$   | 1.0    | 0.5    | 0.2    | 0.1    |
|-------|--------|--------|--------|--------|
| $T/P$ | 0.2219 | 0.2679 | 0.3149 | 0.3393 |

3. Рассмотрим плоское деформированное состояние упругой плоскости с бесконечным упругим прямолинейным включением при действии четырех параллельных оси  $x$  сосредоточенных сил, приложенных симметрично относительно включения (фиг. 3).



Фиг. 3.

Здесь также рассматривается только нижняя полуплоскость.

Напряжения и деформации могут быть выражены формулами (2.4) и (2.5), где неизвестные функции в этом случае имеют вид [1]

$$\begin{aligned} \Phi(z) &= -\frac{P}{2\pi(1+\nu)} \frac{1}{z-z_1} + \frac{P}{2\pi(1+\nu)} \frac{1}{z-z_2} + \Phi_0(z) \\ \Psi(z) &= \frac{\nu P}{2\pi(1+\nu)} \frac{1}{z-z_1} - \frac{\bar{z}_1 P}{2\pi(1+\nu)} \frac{1}{(z-z_1)^2} \\ &\quad - \frac{\nu P}{2\pi(1+\nu)} \frac{1}{z-z_2} + \frac{\bar{z}_2 P}{2\pi(1+\nu)} \frac{1}{(z-z_2)^2} + \Psi_0(z) \end{aligned} \quad (3.1)$$

Продолжая, как и в предыдущем случае, функцию  $\Phi_0(z)$  в верхнюю полуплоскость и исключая  $\Psi_0(z)$ , из формул (2.4), (2.5) и (3.1) получаем

$$\begin{aligned} \sigma_y + i\tau_{xy} &= A_1(z) + \Phi_0(z) - \Phi_0(\bar{z}) + (z-\bar{z})\overline{\Phi_0'(z)} \\ 2G(u' + iv') &= B_1(z) + \nu\Phi_0(z) + \Phi_0(\bar{z}) - (z-\bar{z})\overline{\Phi_0'(z)} \end{aligned} \quad (3.2)$$

где



$$A_1(z) = c_3 \left[ \frac{1}{z-z_2} - \frac{1}{z-z_1} + \frac{1-x}{z-z_2} - \frac{1-x}{z-z_1} + \right. \\ \left. + \frac{z-z_1}{(z-z_1)^2} - \frac{z-z_2}{(z-z_2)^2} \right] \\ B_1(z) = c_3 \left[ \frac{x}{z-z_2} - \frac{x}{z-z_1} + \frac{1-x}{z-z_1} - \right. \\ \left. - \frac{1-x}{z-z_2} - \frac{z-z_1}{(z-z_1)^2} + \frac{z-z_2}{(z-z_2)^2} \right] \\ c_3 = \frac{P}{2\pi(1+x)}$$

$z_1 = a - ib$ ,  $z_2 = -a - ib$  — точки приложения сосредоточенных сил.

Удовлетворяя условиям (2.13), на основании (3.2) имеем

$$\Phi_0^-(t) - \Phi_0^+(t) - \overline{\Phi_0^-(t)} + \overline{\Phi_0^+(t)} + n\Phi_0^-(t) + n\overline{\Phi_0^+(t)} = \\ = \overline{A_1(t)} - A_1(t) - nB_1(t) \quad (3.3)$$

где  $n = \frac{ik}{G}$ .

Поступая аналогично предыдущему случаю, находим

$$\Phi_0(z) = \frac{1}{2\pi i} \int_{-\infty}^{\infty} \frac{\Phi_0^+(t) - \Phi_0^-(t)}{t-z} dt \quad (3.4)$$

где

$$\Phi_0^+(t) = c_3 \frac{2ib(1+x) + x^2n}{nx} \left( \frac{1}{t-z_1} - \frac{1}{t-z_2} \right) + \\ + 2ic_3m(x-bm)e^{-imt} \left( \int_{-\infty}^t \frac{e^{imt}}{t-z_1} dt - \int_{-\infty}^t \frac{e^{imt}}{t-z_2} dt \right) \\ \Phi_0^-(t) = c_3 \left( 1 + \frac{2bm}{x} \right) \left( \frac{1}{t-z_1} - \frac{1}{t-z_2} \right) + \\ + \frac{2ibc_3}{x} \left[ \frac{1}{(t-z_1)^2} - \frac{1}{(t-z_2)^2} \right] + \\ + 2ic_3m \left( 1 + \frac{bm}{x} \right) e^{imt} \left( \int_{-\infty}^t \frac{e^{-imt}}{t-z_1} dt - \int_{-\infty}^t \frac{e^{-imt}}{t-z_2} dt \right) \\ m = \frac{1+x}{x} \frac{G}{k}$$

Для касательных напряжений на границе полуплоскости получаем формулу

$$\begin{aligned}
\tau_{xy} = & 2bc_3 \left[ \frac{2 + \kappa + \frac{bm+1}{\kappa} + bm}{(t+a)^2 + b^2} - \frac{2 + \kappa + \frac{bm+1}{\kappa} + bm}{(t-a)^2 + b^2} \right] + \\
& + \frac{4b^3c_3 \left(1 + \frac{1}{\kappa}\right)}{[(t-a)^2 + b^2]^2} - \frac{4b^3c_3 \left(1 + \frac{1}{\kappa}\right)}{[(t+a)^2 + b^2]^2} - \\
& - \frac{2c_3m(1+\kappa)}{\kappa} (\kappa + bm) \left\{ \cos mt \left[ \int_{-\infty}^t \frac{(t-a) \cos mt}{(t-a)^2 + b^2} dt + \right. \right. \\
& + b \int_{-\infty}^t \frac{\sin mt}{(t-a)^2 + b^2} dt - \int_{-\infty}^t \frac{(t+a) \cos mt}{(t+a)^2 + b^2} dt - b \int_{-\infty}^t \frac{\sin mt}{(t+a)^2 + b^2} dt \left. \right] + \\
& + \sin mt \left[ \int_{-\infty}^t \frac{(t-a) \sin mt}{(t-a)^2 + b^2} dt - b \int_{-\infty}^t \frac{\cos mt}{(t-a)^2 + b^2} dt - \right. \\
& \left. - \int_{-\infty}^t \frac{(t+a) \sin mt}{(t+a)^2 + b^2} dt + b \int_{-\infty}^t \frac{\cos mt}{(t+a)^2 + b^2} dt \right] \left. \right\} \quad (3.6)
\end{aligned}$$

Значения  $\frac{0.4 \tau_{xy}}{mP}$  для некоторых точек границы полуплоскости при  $a = 1$  ед. длины, вычисленные для тех же значений  $\nu, k, b$ , что и в п. 2, приведены в табл. 3.

Таблица 3

| $t \backslash b$ | 1.0     | 0.5     | 0.2     | 0.1     | 0.00      |
|------------------|---------|---------|---------|---------|-----------|
| 0.50             | -0.0292 | -0.1745 | -0.1850 | -0.0749 | 0.0917    |
| 0.75             | -0.0211 | -0.1898 | -0.5351 | -0.4473 | 0.1744    |
| 1.00             | -0.0185 | -0.1274 | -0.4566 | -1.0318 | $-\infty$ |
| 1.25             | -0.0391 | -0.2011 | -0.5326 | -0.4388 | 0.1886    |
| 1.50             | -0.0658 | -0.2004 | -0.1812 | -0.0584 | 0.1210    |
| 2.00             | -0.0728 | -0.0825 | 0.0128  | 0.0259  | 0.0671    |
| 3.00             | -0.0274 | -0.0068 | 0.0148  | 0.0227  | 0.0305    |
| 4.00             | -0.0071 | -0.0033 | 0.0118  | 0.0145  | 0.0171    |
| 6.00             | 0.0011  | 0.0068  | 0.0098  | 0.0111  | 0.0072    |
| 8.00             | 0.0017  | 0.0027  | 0.0033  | 0.0035  | 0.0037    |

Для определения натяжения в точке  $t = 0$  при  $b = 0$  получаем формулу

$$T = \frac{4P}{\pi} [\sin ma \operatorname{ci}(ma) - \cos ma \operatorname{si}(ma)]$$

Результаты вычислений величины  $T/P$  приведены в табл. 4.

Таблица 4

| $a$   | 0.50   | 0.75   | 1.00   | 1.25   | 1.50   | 2.00   | 3.00   | 4.00   | 6.00   | 8.00   |
|-------|--------|--------|--------|--------|--------|--------|--------|--------|--------|--------|
| $T/P$ | 1.4474 | 1.3033 | 1.1893 | 1.0957 | 1.0167 | 0.8896 | 0.7125 | 0.5936 | 0.4435 | 0.3526 |

Институт математики и механики  
АН Армянской ССР

Поступила 1 III 1967

Կ. Ս. ՉՈԲԱՆԻԱՆ, Ա. Ս. ԽԱՇԻԿԻԱՆ

ԲԱՐԱԿԱՊԱՏ ՃԿՈՒՆ ՆԵՐԳՐԱԿՈՎ ԱՌԱՉԳԱԿԱՆ ՄԱՐՄՆԻ  
ՀԱՐԹ ԳԵՅՈՐՄԱՅՎԱԾ ՎԻՃԱԿԸ

Ա մ փ ո փ ո լ մ

Հոգվածում գիտարկված են այն պայմանները, որոնց բախարարում են լարումների և զեֆորմացիաների սահմանային արժեքները՝ հարթ զեֆորմացիայի ենթարկված առաձգական մարմնի բարակապատ ճկուն ներդրակի վրա:

Հետազոտված են ուղղադիր, բարակապատ ներդրակով հարթաթվյան առաձգական համասարակշռության երկու ինչդիր՝ ներդրակի նկատմամբ սիմետրիկ կիրառված կենտրոնացված ուժերի ազդեցության սակ:

K. S. CHOBANIAN, A. S. KHACHIKIAN

ON THE PLANE DEFORMATION STATE OF THE ELASTIC  
BODY WITH A THIN-WALLED FLEXIBLE INCLUSION

S u m m a r y

The conditions for limit values of the stresses and strains on a thin-walled flexible inclusion of the elastic body subjected to plane deformation are considered.

The elastic equilibrium of the infinite plane with a rectilinear thin inclusion under the action of the concentrated forces applied symmetrically to the inclusion are investigated.

Л И Т Е Р А Т У Р А

1. Мусхелишвили Н. И. Некоторые основные задачи математической теории упругости. Изд-во АН СССР, М., 1954.
2. Янке Е. и Эмде Ф. Таблицы функций с формулами и кривыми. Физматгиз, М., 1959.